

Министерство образования и науки РФ  
Федеральное государственное бюджетное образовательное учреждение  
высшего профессионального образования  
«Челябинский государственный педагогический университет»

**М.М. Кипnis, Р.М. Нигматулин**

# **УСТОЙЧИВОСТЬ НЕЙРОННЫХ СЕТЕЙ**

## **ИССЛЕДОВАТЕЛЬСКИЕ ЗАДАЧИ**

Учебно-практическое пособие

Челябинск  
2013

УДК 51-74, 519.718

ББК 22.18 я 73

К 42

**Кипнис, М.М.** Устойчивость нейронных сетей: исследовательские задачи [Текст]: учебно-практическое пособие / М.М. Кипнис, Р.М. Нигматулин. – Челябинск: Изд-во Чел. гос. пед. ун-та, 2013. – 38 с.

ISBN 978-5-85716-993-3

В пособии изложены теоретические основы и методы исследования устойчивости нейронных сетей. Сформулированы исследовательские задачи для нейронных сетей различных конфигураций. Приведены примеры использования пакета MathCAD для решения поставленных задач.

Пособие предназначено для организации исследовательской работы студентов и магистрантов (при выполнении курсовых, квалификационных работ и магистерских диссертаций).

Пособие адресовано преподавателям вузов, а также студентам (обучающимся преимущественно по профилям подготовки «математика», «информатика») и магистрантам (обучающимся по близким к указанным профилям программам подготовки).

Рецензенты: Карабик В.В., д-р физ.-мат. наук, профессор

Поднебесова Г.Б., канд. пед. наук, доцент

ISBN 978-5-85716-993-3

© Кипнис М.М., 2013

© Нигматулин Р.М., 2013

© Издательство Челябинского государственного педагогического университета, 2013

## **Содержание**

Введение.....	4
1. Постановка общей задачи.....	6
2. Задачи исследования устойчивости стандартных конфигураций нейронных сетей .....	9
3. Метод исследования .....	21
4. Приемы для уменьшения размерности задачи.....	23
5. Использование пакета MathCAD для проведения вычислительных экспериментов.....	26
Библиографический список .....	35

## **Введение**

В последние десятилетия бурно развивается новая прикладная область математики, специализирующаяся на искусственных нейронных сетях.

Искусственные нейронные сети – вид математических моделей, которые строятся по принципу организации и функционирования их биологических аналогов – сетей нервных клеток (нейронов) мозга. Привлекательность использования нейронных сетей заключается в том, что при очень ограниченных вычислительных возможностях элементов такой сети, вся сеть в целом, объединяя большое количество таких элементов, оказывается способной выполнять довольно сложные задачи.

Одно из важнейших свойств нейронной сети – это устойчивость, т.е. способность сохранять стабильность своего функционирования при возникновении малых колебаний при передаче сигналов между нейронами, например, вследствие запаздывания.

В предлагаемом пособии формулируются задачи исследования устойчивости нейронных сетей наиболее известных конфигураций: кольцевой, звездной, двухслойной и трёхслойной, полносвязной, цилиндрической, тороидальной и некоторых других. Также в пособии кратко изложен общий метод исследования математических моделей таких нейронных сетей, демонстрируются возможности применения пакета компьютерной математики MathCAD для решения задач и проведения численных экспериментов, для визуализации получаемых результатов исследования.

Пособие предназначено для организации исследовательской работы студентов и магистрантов, обучающихся по направлению подготовки «Педагогическое образование» (преимущественно по профилям «Математика», «Информатика», по магистерской программе

«Информатика в образовании») и позволяет формулировать широкий диапазон тем курсовых, квалификационных работ и магистерских диссертаций.

Исследование конкретной конфигурации нейронов является достаточным по объему содержанием курсовой работы студентов. Квалификационная работа студента и диссертация магистранта может содержать, например, сравнение областей устойчивости нейронных сетей различных конфигураций и выявление качественных особенностей в случае разрыва или образования связей между нейронами (например, разрыв связей в цилиндрической нейронной сети приводит к образованию плоского однородного нейронного поля, а появление новых связей – к образованию тороидальной конфигурации нейронов).

В основу пособия положен многолетний результативный опыт руководства профессора М.М. Кипниса курсовыми, квалификационными работами студентов и диссертациями магистрантов и аспирантов на математическом факультете и факультете информатики. Результаты этих работ опубликованы в научных статьях и материалах конференций (публикации приведены в библиографическом списке).

Работа поддержана грантом Министерства образования и науки РФ (Проект № 1.1711.2011).

## 1. Постановка общей задачи

Искусственные нейронные сети (сети Хопфилда<sup>1</sup>) с  $n$  нейронами в дискретном линеаризованном варианте описываются разностными уравнениями

$$x_s = Ax_{s-1} + Bx_{s-k}, s = 1, 2, \dots \quad (1)$$

Здесь  $A, B$  – матрицы размера  $n \times n$ , натуральное число  $s$  есть номер такта,  $x_s$  является  $n$ -мерным вектором состояний нейронной сети в момент  $s$ .  $A$  есть матрица мгновенных взаимодействий нейронов,  $B$  – матрица взаимодействий с запаздыванием.

**Пример 1.** На рис. 1 изображена сеть из шести нейронов.

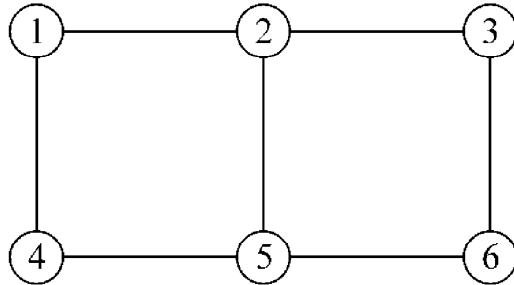


Рис. 1. Пример нейронной сети

Будем считать, что взаимодействие различных нейронов происходит с запаздыванием  $k$ . Сила взаимодействия нейрона с левым соседним нейроном равна  $a$ , с правым  $b$ , с верхним  $c$ , с нижним  $d$ . Предположим, что каждый нейрон реагирует на свой собственный сигнал без запаздывания с мощностью  $\alpha$ .

Введем вектор-функцию состояний  $x_s = (x_s^{(1)}, x_s^{(2)}, x_s^{(3)}, x_s^{(4)}, x_s^{(5)}, x_s^{(6)})^T$ .

Тогда дискретная модель сети на рис. 1 описывается уравнением (1) с матрицами

---

<sup>1</sup> Hopfield, J. Neurons with Graded Response Have Collective Computational Properties Like those of Two-State Neurons / J. Hopfield // *Proceedings of the National Academy of Sciences*, 1984. – V. 81, P. 3088–3092.

$$A = \alpha E, \quad B = \begin{pmatrix} 0 & b & 0 & d & 0 & 0 \\ a & 0 & b & 0 & d & 0 \\ 0 & a & 0 & 0 & 0 & d \\ c & 0 & 0 & 0 & b & 0 \\ 0 & c & 0 & a & 0 & b \\ 0 & 0 & c & 0 & a & 0 \end{pmatrix}.$$

В развернутом виде полученное уравнение имеет вид:

$$\begin{pmatrix} x_s^{(1)} \\ x_s^{(2)} \\ x_s^{(3)} \\ x_s^{(4)} \\ x_s^{(5)} \\ x_s^{(6)} \end{pmatrix} = \begin{pmatrix} \alpha & 0 & 0 & 0 & 0 & 0 \\ 0 & \alpha & 0 & 0 & 0 & 0 \\ 0 & 0 & \alpha & 0 & 0 & 0 \\ 0 & 0 & 0 & \alpha & 0 & 0 \\ 0 & 0 & 0 & 0 & \alpha & 0 \\ 0 & 0 & 0 & 0 & 0 & \alpha \end{pmatrix} \begin{pmatrix} x_{s-1}^{(1)} \\ x_{s-1}^{(2)} \\ x_{s-1}^{(3)} \\ x_{s-1}^{(4)} \\ x_{s-1}^{(5)} \\ x_{s-1}^{(6)} \end{pmatrix} + \begin{pmatrix} 0 & b & 0 & d & 0 & 0 \\ a & 0 & b & 0 & d & 0 \\ 0 & a & 0 & 0 & 0 & d \\ c & 0 & 0 & 0 & b & 0 \\ 0 & c & 0 & a & 0 & b \\ 0 & 0 & c & 0 & a & 0 \end{pmatrix} \begin{pmatrix} x_{s-k}^{(1)} \\ x_{s-k}^{(2)} \\ x_{s-k}^{(3)} \\ x_{s-k}^{(4)} \\ x_{s-k}^{(5)} \\ x_{s-k}^{(6)} \end{pmatrix}.$$

**Пример 2.** Рассмотрим вариант интерпретации системы связей на рис. 1 как двухслойной сети. Будем считать, что первый слой состоит из нейронов 1, 2, 3, второй слой из 4, 5, 6. Пусть взаимодействие нейронов внутри слоев происходит без запаздывания, а взаимодействие нейронов из разных слоев происходит с запаздыванием  $k$ . Предположим, мощности взаимодействия таковы, как они описаны в предыдущем примере.

Усложненная сеть, предположим также, что каждый нейрон, кроме мгновенной реакции на собственное состояние, реагирует на собственное состояние ещё и с запаздыванием с некоторой силой  $e$  (такие реакции нейронов рассматривали в 2004 г. С. Гуо и Л. Хуанг<sup>2</sup>, а также С. Кембелл с соавторами<sup>3</sup>).

Тогда нейронная сеть описывается уравнением (1) с матрицами

$$A = \begin{pmatrix} \alpha & b & 0 & d & 0 & 0 \\ a & \alpha & b & 0 & d & 0 \\ 0 & a & \alpha & 0 & 0 & d \\ c & 0 & 0 & \alpha & b & 0 \\ 0 & c & 0 & a & \alpha & b \\ 0 & 0 & c & 0 & a & \alpha \end{pmatrix}, \quad B = \begin{pmatrix} e & 0 & 0 & d & 0 & 0 \\ a & e & 0 & 0 & d & 0 \\ 0 & a & e & 0 & 0 & d \\ c & 0 & 0 & e & 0 & 0 \\ 0 & c & 0 & a & e & 0 \\ 0 & 0 & c & 0 & a & e \end{pmatrix}$$

<sup>2</sup> Guo, S. Exponential stability of discrete time Hopfield neural networks / S. Guo, L. Huang // Compu. Math. Appl., 2004. –V. 47, P. 1249–1256.

<sup>3</sup> Campbell, S.A. Delayed coupling between two neural network loops / S.A. Campbell, R. Edwards, P. van den Driessche // S.I.A.M. Journal on Applied Mathematics, 2004. –V. 65(1), P. 316–335.

Примеры демонстрируют, что в описании нейронных сетей часто фигурируют симметричные матрицы, а также блочные матрицы относительно несложной структуры. Ещё одна особенность матриц, часто встречающаяся в уравнениях нейронных сетей – ненулевыми элементами заполняются только немногие диагонали над и под главной диагональю, то есть матрицы являются ленточными. Это связано с тем, что во многих (но не всех) сетях нейроны соединяются только с ближайшими в некотором смысле соседями, то есть наблюдается близкодействие. Существенной особенностью задач устойчивости нейронных сетей является зависимость устойчивости только от согласованного спектра двух матриц  $A$  и  $B$  в случае их одновременного приведения к треугольной форме.

Общая задача исследования состоит в нахождении области устойчивости некоторой стандартной конфигурации нейронной сети с  $n$  нейронами ( $3 \leq n \leq 16$ ), описываемой уравнением (1) и запаздыванием  $k$ , равным 2, 3, 4, 5, в пространстве трёх параметров (как правило, это силы взаимодействия нейронов, например,  $\alpha, a, b$ ). Требуется получить графическое изображение (на плоскости или в пространстве) таких областей.

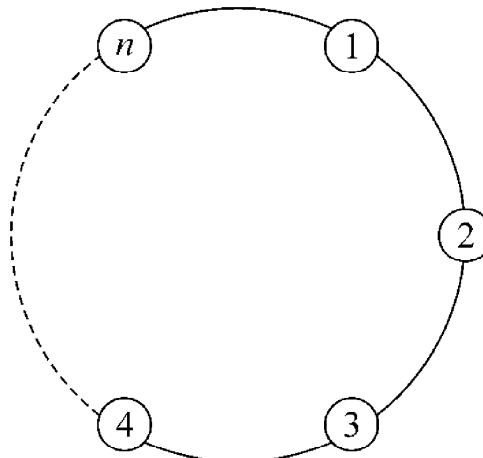
В следующем параграфе формулируются задачи исследования устойчивости стандартных конфигураций нейронных сетей: кольцевой, звездной, «колеса», двухслойной, трёхслойной, полно связной, тороидальной, цилиндрической. Одна из предлагаемых задач посвящена исследованию устойчивости однородного плоского нейронного поля, фрагмент которого указан на рис. 1.

В предлагаемых задачах уравнение (1) содержит только такие матрицы  $A$  и  $B$ , которые могут быть приведены одной трансформирующей матрицей к треугольному виду. Этот класс включает все коммутирующие пары матриц  $A$  и  $B$ .

## 2. Задачи исследования устойчивости стандартных конфигураций нейронных сетей

### 2.1. Кольцевая конфигурация нейронов

Предлагается рассмотреть задачу об устойчивости кольца, состоящего из  $n$  нейронов (рис. 2). Предположим, что реакция нейрона на собственный сигнал в момент  $s$  мгновенна с силой  $\alpha$ . Реакция нейрона на сигналы соседних нейронов запаздывают на  $k$  тактов. Сила реакции нейрона на правого соседа равна  $a$ , на левого  $b$ . Первый нейрон является левым соседом последнего.



**Рис. 2. Кольцевая архитектура нейронной сети**

Задача об устойчивости кольца из шести нейронов сводится к изучению устойчивости уравнения (1) с матрицами

$$A = \alpha E, \quad B = \begin{pmatrix} 0 & b & 0 & 0 & 0 & a \\ a & 0 & b & 0 & 0 & 0 \\ 0 & a & 0 & b & 0 & 0 \\ 0 & 0 & a & 0 & b & 0 \\ 0 & 0 & 0 & a & 0 & b \\ b & 0 & 0 & 0 & a & 0 \end{pmatrix}.$$

Матрица  $B$  имеет размер  $6 \times 6$ . Посредством  $E$  обозначена единичная матрица 6 порядка.

Будем считать основными параметрами  $a, b$  и строить области устойчивости в плоскости этих параметров. Требуется также выяснить,

как меняется эта область при изменении параметров  $k$  и  $\alpha$ .

Введем специальное обозначение для  $6 \times 6$  матрицы оператора сдвига строк

$$P = \begin{pmatrix} 0 & 0 & 0 & 0 & 0 & 1 \\ 1 & 0 & 0 & 0 & 0 & 0 \\ 0 & 1 & 0 & 0 & 0 & 0 \\ 0 & 0 & 1 & 0 & 0 & 0 \\ 0 & 0 & 0 & 1 & 0 & 0 \\ 0 & 0 & 0 & 0 & 1 & 0 \end{pmatrix}. \quad (1)$$

С учетом обозначения (1) имеем  $B = aP + bP^5$ . Несложно обобщить эту формулу для произвольного числа нейронов  $n$ .

## 2.2. Звёздная конфигурация нейронов

Предлагается рассмотреть задачу об устойчивости звездной нейронной сети (рис. 3), содержащей  $n$  нейронов. Предположим, что реакция нейрона на собственный сигнал в момент  $s$  мгновенна с силой  $\alpha$ . Реакция центрального нейрона на сигналы других нейронов запаздывает на  $k$  тактов и имеет силу  $a$ , реакции нецентральных (периферийных) нейронов на сигналы центрального нейрона запаздывают на  $k$  тактов и имеют силу  $b$ .

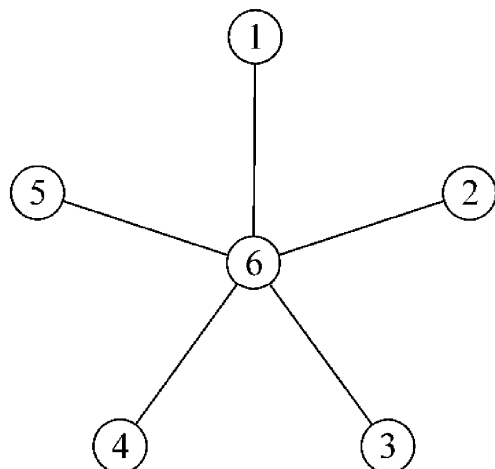


Рис. 3. Звездная конфигурация нейронов

Задача об устойчивости звезды сводится к изучению устойчивости уравнения (1) с матрицами вида

$$A = \alpha E, \quad B = \begin{pmatrix} 0 & a & a & a & a & a \\ b & 0 & 0 & 0 & 0 & 0 \\ b & 0 & 0 & 0 & 0 & 0 \\ b & 0 & 0 & 0 & 0 & 0 \\ b & 0 & 0 & 0 & 0 & 0 \\ b & 0 & 0 & 0 & 0 & 0 \end{pmatrix} \quad (2)$$

Для сети из шести нейронов ( $n = 6$ , рис. 3) матрицы  $A$  и  $B$  указаны в (2). Матрица  $B$  имеет размер  $6 \times 6$ . Посредством  $E$  обозначена единичная матрица 6 порядка.

Будем считать основными параметрами  $a, b$  и строить области устойчивости в плоскости этих параметров. Требуется также выяснить, как меняется эта область при изменении параметров  $k$  и  $\alpha$ .

### 2.3. Конфигурация нейронов «колесо»

Предлагается рассмотреть задачу об устойчивости сети из  $n$  нейронов, образующих «колесо» (рис. 4). Предположим, что реакция нейрона на собственный сигнал в момент  $s$  мгновенна с силой  $\alpha$ . Реакция центрального нейрона на сигналы других нейронов запаздывают на  $k$  тактов и имеет силу  $a$ , реакции нецентральных (периферийных) нейронов на сигналы центрального нейрона запаздывают на  $k$  тактов и имеют силу  $b$ . Сила реакции нейрона на правого соседа равна  $c$ , на левого  $d$ . Второй нейрон является левым соседом последнего.

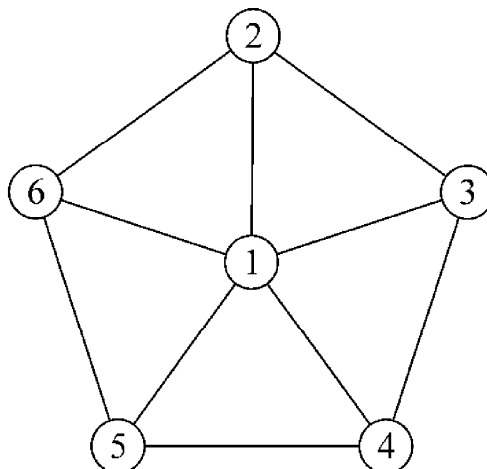


Рис. 4. Конфигурация нейронов «колесо»

Задача об устойчивости сети нейронов, образующих «колесо», сводится к изучению устойчивости уравнения (1) с матрицами вида

$$A = \alpha E, \quad B = \begin{pmatrix} 0 & a & a & a & a & a \\ b & 0 & d & 0 & 0 & c \\ b & c & 0 & d & 0 & 0 \\ b & 0 & c & 0 & d & 0 \\ b & 0 & 0 & c & 0 & d \\ b & d & 0 & 0 & c & 0 \end{pmatrix} \quad (3)$$

Для сети из шести нейронов ( $n = 6$ , рис. 4) матрицы  $A$  и  $B$  указаны в (3). Матрица  $B$  имеет размер  $6 \times 6$ . Посредством  $E$  обозначена единичная матрица 6 порядка.

Будем считать основными параметрами  $a, c$  (с отождествлениями  $a = b, c = d$ ) и строить области устойчивости в плоскости этих параметров. Требуется также выяснить, как меняется эта область при изменении параметров  $k$  и  $\alpha$ .

#### 2.4. Двухслойная нейронная сеть

Предлагается рассмотреть задачу об устойчивости двухслойной нейронной сети, показанной на рис. 5, содержащей  $2n$  нейронов. Связи между нейронами показаны линиями. Предположим, что реакция нейрона на собственный сигнал в момент  $s$  мгновенна с силой  $\alpha$ . Реакции нейронов первого слоя на сигналы соединенных с ним нейронов второго слоя запаздывают на  $k$  тактов и имеют силу  $a$ . Реакции нейронов второго слоя на сигналы соединенных с ним нейронов первого слоя запаздывают на  $k$  тактов и имеют силу  $b$ .

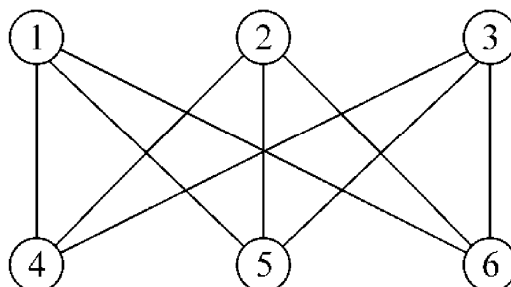


Рис. 5. Двухслойная сеть

Задача об устойчивости двухслойной нейронной сети сводится к изучению устойчивости уравнения (1) с матрицами вида

$$A = \alpha E, \quad B = \begin{pmatrix} 0 & 0 & 0 & a & a & a \\ 0 & 0 & 0 & a & a & a \\ 0 & 0 & 0 & a & a & a \\ b & b & b & 0 & 0 & 0 \\ b & b & b & 0 & 0 & 0 \\ b & b & b & 0 & 0 & 0 \end{pmatrix} \quad (4)$$

Для сети из шести нейронов ( $n = 6$ , рис. 5) матрицы  $A$  и  $B$  указаны в (4). Матрица  $B$  имеет размер  $6 \times 6$ . Посредством  $E$  обозначена единичная матрица 6 порядка.

Будем считать основными параметрами  $a, b$  и строить области устойчивости в плоскости этих параметров. Требуется также выяснить, как меняется эта область при изменении параметров  $k$  и  $\alpha$ .

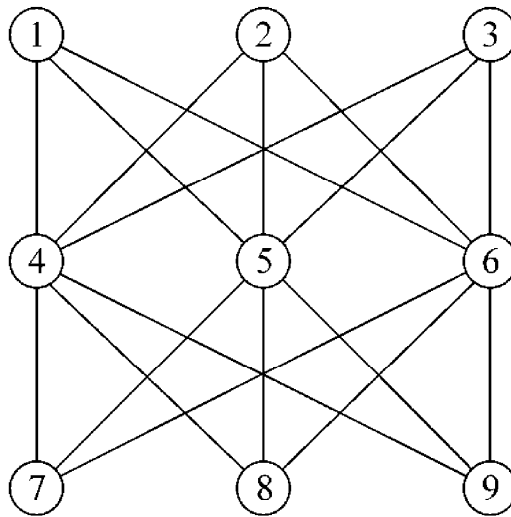
## 2.5. Трёхслойная нейронная сеть

Предлагается рассмотреть задачу об устойчивости трёхслойной нейронной сети, показанной на рис. 6, содержащую  $3n$  нейронов. Связи между нейронами показаны сплошными линиями. Предположим, что реакция нейрона на собственный сигнал в момент  $s$  мгновенна с силой  $\alpha$ . Реакции нейронов первого слоя на сигналы соединенных с ним нейронов второго слоя, а также реакции нейронов второго слоя на сигналы соединенных с ним нейронов третьего слоя, запаздывают на  $k$  тактов и имеют силу  $a$ . Обратные реакции нейронов третьего слоя на сигналы нейронов второго слоя и нейронов второго на нейроны первого слоя запаздывают на  $k$  тактов и имеют силу  $b$ .

Задача об устойчивости трёхслойной нейронной сети сводится к изучению устойчивости уравнения (1) с матрицами вида

$$A = \alpha E, \quad B = \begin{pmatrix} 0 & 0 & 0 & a & a & a & 0 & 0 & 0 \\ 0 & 0 & 0 & a & a & a & 0 & 0 & 0 \\ 0 & 0 & 0 & a & a & a & 0 & 0 & 0 \\ b & b & b & 0 & 0 & 0 & a & a & a \\ b & b & b & 0 & 0 & 0 & a & a & a \\ b & b & b & 0 & 0 & 0 & a & a & a \\ 0 & 0 & 0 & b & b & b & 0 & 0 & 0 \\ 0 & 0 & 0 & b & b & b & 0 & 0 & 0 \\ 0 & 0 & 0 & b & b & b & 0 & 0 & 0 \end{pmatrix} \quad (5)$$

Для сети из девяти нейронов ( $n = 9$ , рис. 6) матрицы  $A$  и  $B$  указаны в (5). Матрица  $B$  имеет размер  $9 \times 9$ . Посредством  $E$  обозначена единичная матрица 9 порядка.



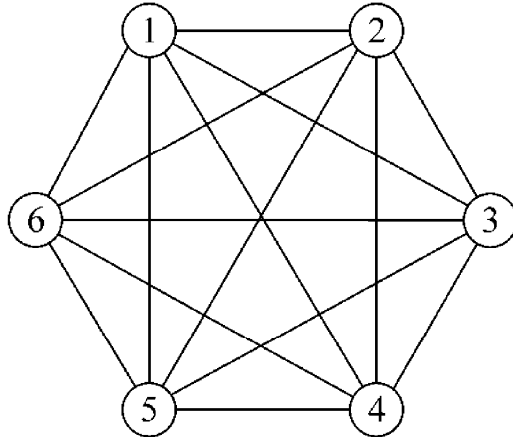
**Рис. 6. Трёхслойная сеть**

Будем считать основными параметрами  $a, b$  и строить области устойчивости в плоскости этих параметров. Требуется также выяснить, как меняется эта область при изменении параметров  $k$  и  $\alpha$ .

## 2.6. Полносвязная нейронная сеть с запаздыванием в реакции нейрона на собственный сигнал

Предлагается рассмотреть задачу об устойчивости полносвязной нейронной сети (рис. 9). Сеть содержит  $n$  нейронов. Предположим, что реакция нейрона на собственный сигнал в момент  $s$  разделена на две части:

одна часть мгновенна с силой  $\alpha$ , другая с запаздыванием на  $k$  тактов с силой  $a$ . Реакция нейрона на сигналы всех других нейронов запаздывают на  $k$  тактов и имеет силу  $b$ .



**Рис. 7. Полносвязная сеть**

Задача об устойчивости полносвязной нейронной сети сводится к изучению устойчивости уравнения (1) с матрицами вида

$$A = \alpha E, \quad B = \begin{pmatrix} a & b & b & b & b & b \\ b & a & b & b & b & b \\ b & b & a & b & b & b \\ b & b & b & a & b & b \\ b & b & b & b & a & b \\ b & b & b & b & b & a \end{pmatrix} \quad (6)$$

Для сети из шести нейронов ( $n = 6$ , рис. 7) матрицы  $A$  и  $B$  указаны в (6). Матрица  $B$  имеет размер  $6 \times 6$ . Посредством  $E$  обозначена единичная матрица 6 порядка.

Будем считать основными параметрами  $a, b$  и строить области устойчивости в плоскости этих параметров. Требуется также выяснить, как меняется эта область при изменении параметров  $k$  и  $\alpha$ .

## 2.7. Полносвязная нейронная сеть с простой реакцией нейрона на собственный сигнал

Предлагается рассмотреть задачу об устойчивости полносвязной нейронной сети (рис. 10), содержащей  $n$  нейронов. Реакция нейрона на собственный сигнал в момент  $s$  мгновенна с силой  $\alpha$ . Предположим, что нейроны последовательно подключаются к существующей полносвязной сети, и в процессе подключения каждый нейрон действует на нейроны с меньшими номерами с силой  $b$ , а нейроны с меньшими номерами действуют на вновь присоединенный нейрон с силой  $a$ . Реакция нейрона на сигналы других нейронов запаздывает на  $k$  тактов.

Задача об устойчивости такой полносвязной нейронной сети сводится к изучению устойчивости уравнения (1) с матрицами вида

$$A = \alpha E, \quad B = \begin{pmatrix} 0 & b & b & b & b & b \\ a & 0 & b & b & b & b \\ a & a & 0 & b & b & b \\ a & a & a & 0 & b & b \\ a & a & a & a & 0 & b \\ a & a & a & a & a & 0 \end{pmatrix} \quad (7)$$

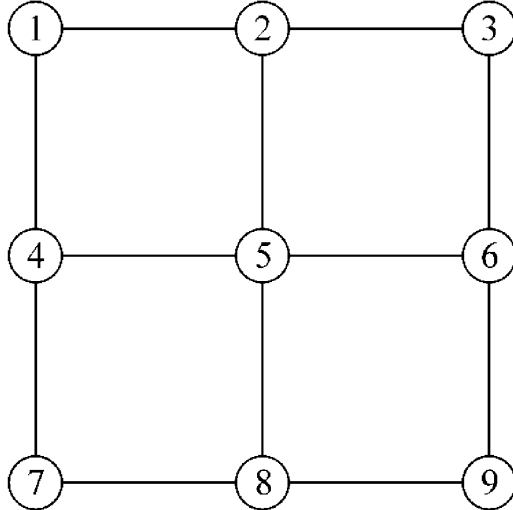
Для сети из шести нейронов ( $n = 6$ , рис. 7) матрицы  $A$  и  $B$  указаны в (7). Матрица  $B$  имеет размер  $6 \times 6$ . Посредством  $E$  обозначена единичная матрица 6 порядка.

Будем считать основными параметрами  $a, b$  и строить области устойчивости в плоскости этих параметров. Требуется также выяснить, как меняется эта область при изменении параметров  $k$  и  $\alpha$ .

## 2.8. Плоское однородное нейронное поле

Предлагается рассмотреть задачу об устойчивости плоского однородного нейронного поля размером  $n \times n$ , показанного на рис. 8. Сеть содержит  $n^2$  нейронов. Предположим, что реакция нейрона на

собственный сигнал в момент  $s$  мгновенна с силой  $\alpha$ . Реакция нейрона на сигналы соседних нейронов запаздывают на  $k$  тактов. Сила реакции нейрона на левого соседа равна  $a$ , на правого  $b$ , на верхнего  $c$ , на нижнего  $d$ .



**Рис. 8. Плоское  $3 \times 3$  нейронное поле**

Задача об устойчивости плоского однородного нейронного поля сводится к изучению устойчивости уравнения (1) с матрицами вида

$$A = \alpha E, \quad B = \begin{pmatrix} 0 & b & 0 & d & 0 & 0 & 0 & 0 & 0 \\ a & 0 & b & 0 & d & 0 & 0 & 0 & 0 \\ 0 & a & 0 & 0 & 0 & d & 0 & 0 & 0 \\ c & 0 & 0 & 0 & b & 0 & d & 0 & 0 \\ 0 & c & 0 & a & 0 & b & 0 & d & 0 \\ 0 & 0 & c & 0 & a & 0 & 0 & 0 & d \\ 0 & 0 & 0 & c & 0 & 0 & 0 & b & 0 \\ 0 & 0 & 0 & 0 & c & 0 & a & 0 & b \\ 0 & 0 & 0 & 0 & 0 & c & 0 & a & 0 \end{pmatrix} \quad (8)$$

Для сети из девяти нейронов ( $n = 9$ , рис. 8) матрицы  $A$  и  $B$  указаны в (8). Матрица  $B$  имеет размер  $9 \times 9$ . Посредством  $E$  обозначена единичная матрица 9 порядка.

Будем считать основными параметрами  $a, b$  (с отождествлениями  $a = c, b = d$ ) и строить области устойчивости в плоскости этих параметров. Требуется также выяснить, как меняется эта область при изменении параметров  $k$  и  $\alpha$ .

## 2.9. Тороидальная конфигурация нейронов

Рассмотрим тороидальную  $3 \times 3$  конфигурацию нейронов, показанную на рисунке 9. Предполагается, что реакция нейрона на собственный сигнал в момент  $s$  мгновенна с силой  $\alpha$ . Реакция нейрона на сигналы соседних нейронов запаздывает на  $k$  тактов. Рассмотрим тройки нейронов, которые будем считать расположенными по часовой стрелке: 1, 2, 3; 4, 5, 6; 7, 8, 9. В этих тройках сила реакции нейрона на соседа по часовой стрелке равна  $b$ , против часовой стрелки  $a$ . В трёх других тройках нейронов назначим следующее расположение по часовой стрелке: 1, 7, 4; 2, 8, 5; 3, 9, 6. В этих тройках сила реакции нейрона на соседа по часовой стрелке равна  $d$ , против часовой стрелки  $c$ .

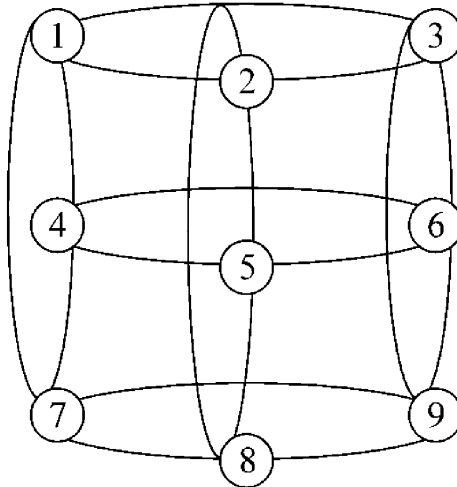


Рис. 9. Тороидальная конфигурация нейронов

Задача об устойчивости сети тороидальной конфигурации сводится к изучению устойчивости уравнения (1) с матрицами вида

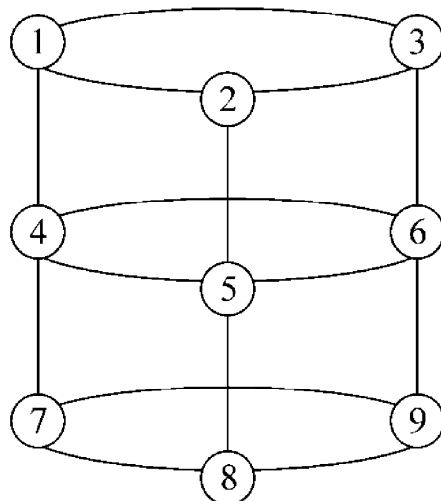
$$A = \alpha E, \quad B = \begin{pmatrix} 0 & b & a & d & 0 & 0 & 0 & c & 0 & 0 \\ a & 0 & b & 0 & d & 0 & 0 & 0 & c & 0 \\ b & a & 0 & 0 & 0 & d & 0 & 0 & 0 & c \\ c & 0 & 0 & 0 & b & a & d & 0 & 0 & 0 \\ 0 & c & 0 & a & 0 & b & 0 & d & 0 & 0 \\ 0 & 0 & c & b & a & 0 & 0 & 0 & 0 & d \\ d & 0 & 0 & c & 0 & 0 & 0 & 0 & b & a \\ 0 & d & 0 & 0 & c & 0 & a & 0 & b & 0 \\ 0 & 0 & d & 0 & 0 & c & b & a & 0 & 0 \end{pmatrix} \quad (9)$$

Для сети из девяти нейронов ( $n = 9$ , рис. 9) матрицы  $A$  и  $B$  указаны в (9). Матрица  $B$  имеет размер  $9 \times 9$ . Посредством  $E$  обозначена единичная матрица 9 порядка.

Будем считать основными параметрами  $a, b$  (с отождествлениями  $a = c, b = d$ ) и строить области устойчивости в плоскости этих параметров. Требуется также выяснить, как меняется эта область при изменении параметров  $k$  и  $\alpha$ .

## 2.10. Цилиндрическая конфигурация нейронов

Рассмотрим конфигурацию на рисунке 10. Она отличается от тороидальной (рис. 9) только отсутствием связей между парами 1 и 7, 2 и 8, 3 и 9. Назовем такую конфигурацию цилиндрической.



**Рис. 10. Цилиндрическая конфигурация нейронов**

Задача об устойчивости цилиндрической сети сводится к изучению устойчивости уравнения (1) с матрицами вида

$$A = \alpha E, \quad B = \begin{pmatrix} 0 & b & a & d & 0 & 0 & 0 & 0 & 0 \\ a & 0 & b & 0 & d & 0 & 0 & 0 & 0 \\ b & a & 0 & 0 & 0 & d & 0 & 0 & 0 \\ c & 0 & 0 & 0 & b & a & d & 0 & 0 \\ 0 & c & 0 & a & 0 & b & 0 & d & 0 \\ 0 & 0 & c & b & a & 0 & 0 & 0 & d \\ 0 & 0 & 0 & c & 0 & 0 & 0 & b & a \\ 0 & 0 & 0 & 0 & c & 0 & a & 0 & b \\ 0 & 0 & 0 & 0 & 0 & c & b & a & 0 \end{pmatrix} \quad (10)$$

Для сети из девяти нейронов ( $n = 9$ , рис. 10) матрицы  $A$  и  $B$  указаны в (10). Матрица  $B$  имеет размер  $9 \times 9$ . Посредством  $E$  обозначена единичная матрица 9 порядка.

Будем считать основными параметрами  $a, b$  (с отождествлениями  $a = c, b = d$ ) и строить области устойчивости в плоскости этих параметров. Требуется также выяснить, как меняется эта область при изменении параметров  $k$  и  $\alpha$ .

### 3. Метод исследования

Для исследования устойчивости уравнения (1) ищем решение в виде

$$x_s = \lambda^s C, \quad s = 1, 2, \dots \quad (11)$$

где  $C$  – постоянный ненулевой вектор размерности  $n$ , равной количеству нейронов в сети,  $\lambda$  – комплексное число. Подставляя (11) в (1), получим

$$(E\lambda^k - A\lambda^{k-1} - B)C = 0. \quad (12)$$

Ненулевое решение уравнения (12) существует, если и только если

$$\det(E\lambda^k - A\lambda^{k-1} - B) = 0. \quad (13)$$

Уравнение (13) называется характеристическим уравнением для уравнения (1), а его левая часть – характеристическим полиномом для (1). Уравнение (13) имеет порядок  $k \cdot n$ , где  $k$  – запаздывание,  $n$  – количество нейронов в сети.

Если все корни  $\lambda_j$  ( $1 \leq j \leq kn$ ) уравнения (13) обладают свойством  $|\lambda_j| < 1$ , то уравнение (1) является асимптотически устойчивым, то есть все его решения стремятся к нулю при  $s \rightarrow \infty$ . Если хотя бы для одного  $j$  выполняется неравенство  $|\lambda_j| > 1$ , то уравнение (1) неустойчиво.

Исключительный случай, когда при любом  $j$  ( $1 \leq j \leq kn$ ) имеет место неравенство  $|\lambda_j| \leq 1$  и существует такое  $j$ , что  $|\lambda_j| = 1$ , требует дополнительного исследования. На границе области устойчивости в пространстве параметров именно этот случай реализуется.

Следовательно, если при заданных значениях параметров, например,  $a, b$ , все корни уравнения (13) обладают свойством  $|\lambda_j| < 1$ , то точка  $(a, b)$  является внутренней точкой области устойчивости. Если же существует такое  $j$ , что  $|\lambda_j| = 1$ , а для остальных выполняется  $|\lambda_j| < 1$ , то точка  $(a, b)$  лежит на границе области устойчивости.

Для графического изображения области устойчивости уравнения (1), например, на плоскости параметров  $aOb$  можно придерживаться следующего порядка действий:

1. Зафиксируем значение  $\alpha$  (коэффициент демпфирования) и значение запаздывания  $k$ .
2. Для каждого значения  $a$  мы находим такое значение  $b$ , при котором хотя бы один корень по модулю равен 1, а остальные по модулю меньше 1 (точка с координатами  $(a; b)$  лежит на границе области устойчивости). Формируем множество граничных точек (в виде списка или массива значений).
3. По найденным точкам  $(a; b)$  строим ломаные. Получаем изображение области устойчивости на плоскости параметров  $ab$ .

Уравнение (13) даже при небольших  $k$  и  $n$  имеет высокий порядок и в общем случае его корни не могут быть найдены аналитически. Естественно в таком случае находить корни численно, например, с помощью системы компьютерной математики MathCAD. Графическое изображение границы области устойчивости также может быть получено в MathCAD в виде ломаной, с вершинами в найденных точках  $(a; b)$ .

Таким образом, для исследования устойчивости уравнения (1) требуется провести численные эксперименты в системе компьютерной математики MathCAD для нахождения корней уравнения (13) и получения граничных точек  $(a; b)$ . Необходимые операторы и функции MathCAD будут рассмотрены с примерами в следующих параграфах.

## 4. Приемы для уменьшения размерности задачи

Учитывая большую размерность матриц в (13) и сложности работы MathCAD с матрицами большого размера, в этом параграфе мы укажем некоторые возможности для уменьшения размерности задачи при нахождении корней уравнения (13).

Первый способ заключается в вычислении определителя (13) с помощью следующей теоремы из теории блочных матриц.

**Теорема.** *Если все матрицы  $B_{ij}$  ( $i,j = 1,2$ ) коммутируют, то определитель блочной матрицы*

$$B = \begin{pmatrix} B_{11} & B_{12} \\ B_{21} & B_{22} \end{pmatrix}$$

*может быть вычислен по формуле*

$$\det B = \det B_{11} \det B_{22} - \det B_{21} \det B_{12}.$$

Аналогичная теорема имеет место для блочных матриц, блоки которых конфигурированы в матрицу третьего порядка. Именно этот случай будет иметь место в формулах (5), (8) – (10): здесь требуется вычислить определитель матрицы, состоящей из 9 блоков, каждый размером  $3 \times 3$ . Остается только вспомнить, как считается определитель третьего порядка.

Есть еще один способ преодоления трудностей работы MathCAD с матрицами больших порядков. Он требует более изощренных действий, зато позволяет решать задачи очень большой размерности.

В рассмотренных ранее конфигурациях нейронных сетей полагают  $A = \alpha E$ . Поэтому характеристическое уравнение (13) может быть записано в виде

$$\det ((-\lambda^k + \alpha\lambda^{k-1})E + B) = 0. \quad (14)$$

Уравнение (14) может быть преобразовано к виду

$$\det \begin{pmatrix} g & 0 & 0 & a & a & a & 0 & 0 & 0 \\ 0 & g & 0 & a & a & a & 0 & 0 & 0 \\ 0 & 0 & g & a & a & a & 0 & 0 & 0 \\ b & b & b & g & 0 & 0 & a & a & a \\ b & b & b & 0 & g & 0 & a & a & a \\ b & b & b & 0 & 0 & g & a & a & a \\ 0 & 0 & 0 & b & b & b & g & 0 & 0 \\ 0 & 0 & 0 & b & b & b & 0 & g & 0 \\ 0 & 0 & 0 & b & b & b & 0 & 0 & g \end{pmatrix} = 0, \quad (15)$$

где буквой  $g$  обозначено выражение

$$g = -\lambda^k + \alpha \cdot \lambda^{k-1}. \quad (16)$$

Пусть даны  $k$ ,  $\alpha$  и матрица  $B$ . У матрицы  $B$  диагональные элементы равны нулю (например, в формулах (5), (8) – (10)), ее порядок равен  $r$ . Тогда следует с помощью MathCAD найти все собственные числа матрицы  $B$  (MathCAD делает это для матриц очень больших размерностей) с помощью функции `eigenvals(B)`.

Пусть  $\mu_1, \mu_2, \dots, \mu_r$  – список собственных значений  $B$ . Тогда для каждого  $\mu_j$  следует решить уравнение  $-j$  степени

$$\lambda^k - \alpha \lambda^{k-1} = \mu_j.$$

Всего получится  $kr$  корней. Вычисляя с помощью MathCAD модули полученных корней, можно диагностировать устойчивость либо неустойчивость системы (1).

Чтобы заставить MathCAD решить все уравнения сразу, можно задать ему уравнение

$$\varphi(\lambda) = \prod_{j=1}^r (\lambda^k - \alpha \lambda^{k-1} - \mu_j) = 0.$$

Решив это уравнение, MathCAD найдет все интересующие нас корни (в виде одного списка) и выберет наибольшее по модулю.

Для многочленов большой степени (больше 10) встроенные функции MathCAD могут численно находить корни многочлена с существенной потерей точности (особенно в тех случаях, когда у

многочлена имеются кратные корни, либо когда корни плохо отделены друг от друга на малом промежутке или внутри круга малого радиуса на комплексной плоскости). Для предотвращения этого выгоднее находить корни уравнений  $\lambda^k - \alpha \lambda^{k-1} = \mu_j$  по отдельности, а затем объединить их в общий список для анализа устойчивости.

Для численного нахождения корней полиномов с помощью функции `polyroots` в MathCAD реализованы два метода: метод Лагерра и метод сопровождающей матрицы (`companion matrix method`). Наш опыт показывает, что для задач, рассматриваемых в этом пособии, последний из этих методов дает большую точность.

Примеры использования функций MathCAD для постановки и проведения численных экспериментов рассматриваются в следующем параграфе.

## **5. Использование пакета MathCAD для проведения вычислительных экспериментов**

### **5.1. Генерирование матриц большого порядка и блочных матриц**

В рассмотренных задачах исследования нейронных сетей чаще всего приходится иметь дело с единичными матрицами и блочными матрицами большого порядка.

Отметим, что традиционно в математике индексы элементов матриц обозначаются натуральными числами. В MathCAD по умолчанию эта нумерация идет с 0. Для перехода на традиционную нумерацию системной переменной ORIGIN нужно присвоить значение 1 (см. рис. 11).

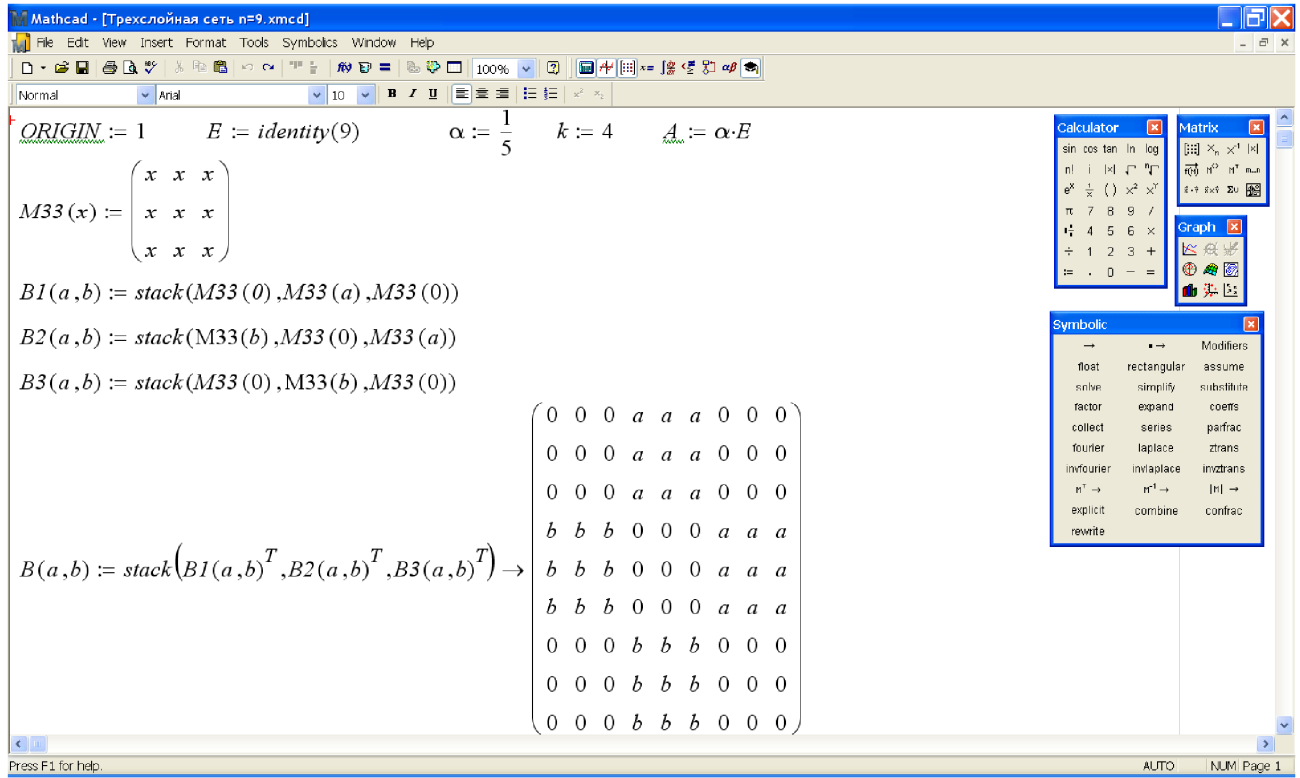
Для генерирования единичной матрицы порядка  $n$  в MathCAD определена функция `identity(n)` (см. рис. 11).

Для генерирования блочной матрицы нужно определить матрицу-функцию (от одной или нескольких переменных), с помощью которой можно задать блоки одного вида для разных значений параметров. На рисунке 11 рассматривается пример построения матрицы  $B$  для трёхслойной нейронной сети с 9 нейронами (см. формулу(5)). В этом примере задается матрица-блок  $M33(x)$  как функция от одной переменной. С помощью матрицы  $M33(x)$  можно задать все 9 блоков матрицы  $B$ , изменения значения  $x$  на 0,  $a$ ,  $b$ .

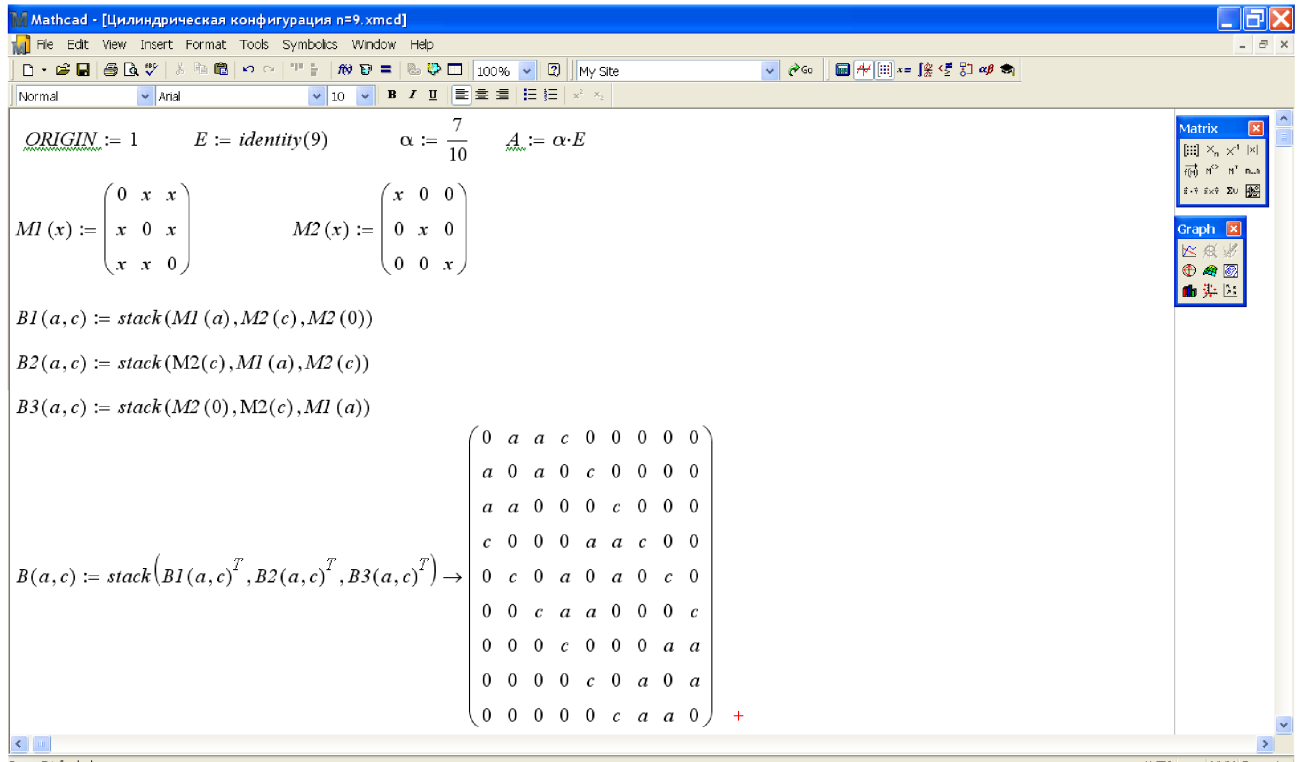
Блоки объединяются в одну матрицу с помощью функции `stack`. Эта функция объединяет блоки, располагая их только друг под другом. Поэтому сначала нужно получить три блока  $3 \times 9$  (на рис. 11 эти блоки обозначены  $B1(a,b)$ ,  $B2(a,b)$ ,  $B3(a,b)$ ), а потом соединить их в одну матрицу.

На рисунке 12 рассмотрен пример генерирования блочных матриц для цилиндрической нейронной сети с 9 нейронами.

Такой подход оказывается очень удобным (по сравнению с ручным вводом) особенно для большого числа нейронов в сети, например, для сети из 16 нейронов.



**Рис. 11. Пример генерирования блочных матриц для трёхслойной нейронной сети с 9 нейронами**



**Рис. 12. Пример генерирования блочных матриц для цилиндрической нейронной сети с 9 нейронами**

## 5.2. Вычисление определителей, собственных чисел матрицы и корней многочленов

Вычисление определителей в MathCAD проводится с помощью оператора с традиционным математическим обозначением  $|x|$ . Основные функции работы с матрицами представлены в виде значков на панели инструментов «Матрица» (Matrix):



Рис. 13. Панель инструментов для работы с матрицами

Для упрощения характеристического полинома (разложения его на множители) можно использовать команду factor на панели символьных преобразований Symbolic:

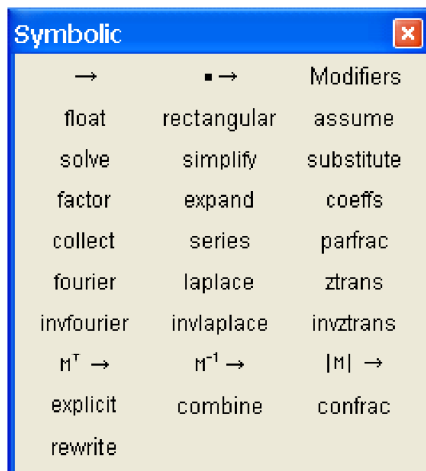
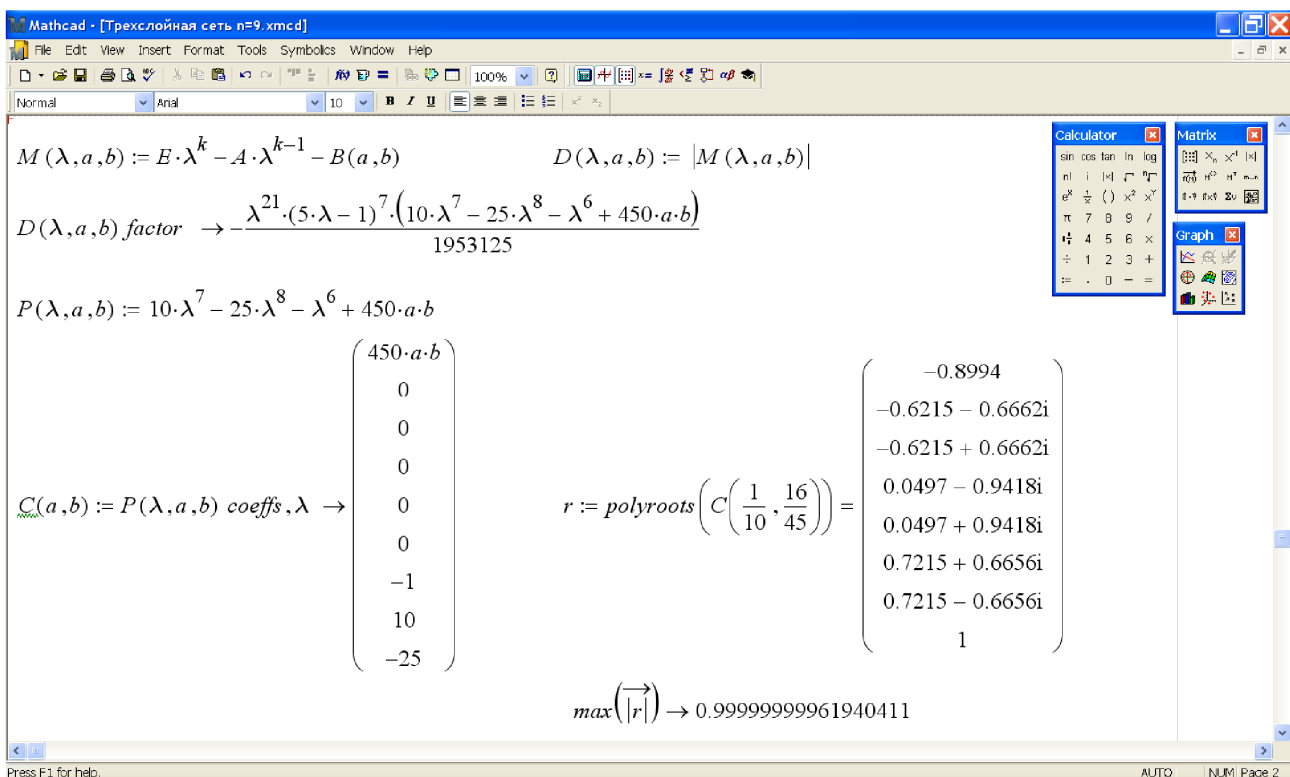


Рис. 14. Панель инструментов символьных преобразований

Обращаем внимание читателя на то, что MathCAD легче проводит символьные преобразования многочленов с целыми коэффициентами. Поэтому мы рекомендуем задавать значения параметров в виде обыкновенных дробей. Удобно знаменатели дробей делать равными 100 или 1000, например,  $a = \frac{23}{1000}$ ,  $b = \frac{24}{1000}$ .

На рисунке 15 представлен пример вычисления характеристического полинома  $D(\lambda, a, b)$  и его корней при исследовании устойчивости трёхслойной нейронной сети с 9 нейронами для значений параметров  $\alpha = \frac{1}{5}$ ,  $k = 2$ . При вычислении корней характеристического полинома можно заметить, что  $\lambda = \frac{1}{5} = \alpha$  является корнем кратности 7 при всех  $a, b$ ;  $\lambda = 0$  является корнем кратности 21 при всех  $a, b$ . Поэтому устойчивость сети будет зависеть только от модулей корней многочлена 8-й степени, обозначенного  $P(\lambda, a, b)$ . Для значений  $a = \frac{1}{10}$ ,  $b = \frac{16}{45}$  у многочлена  $P(\lambda, a, b)$  один корень по модулю равен 1, остальные имеют модули, меньшие 1. Поэтому точка  $\left(\frac{1}{10}, \frac{16}{45}\right)$  лежит на границе области устойчивости.



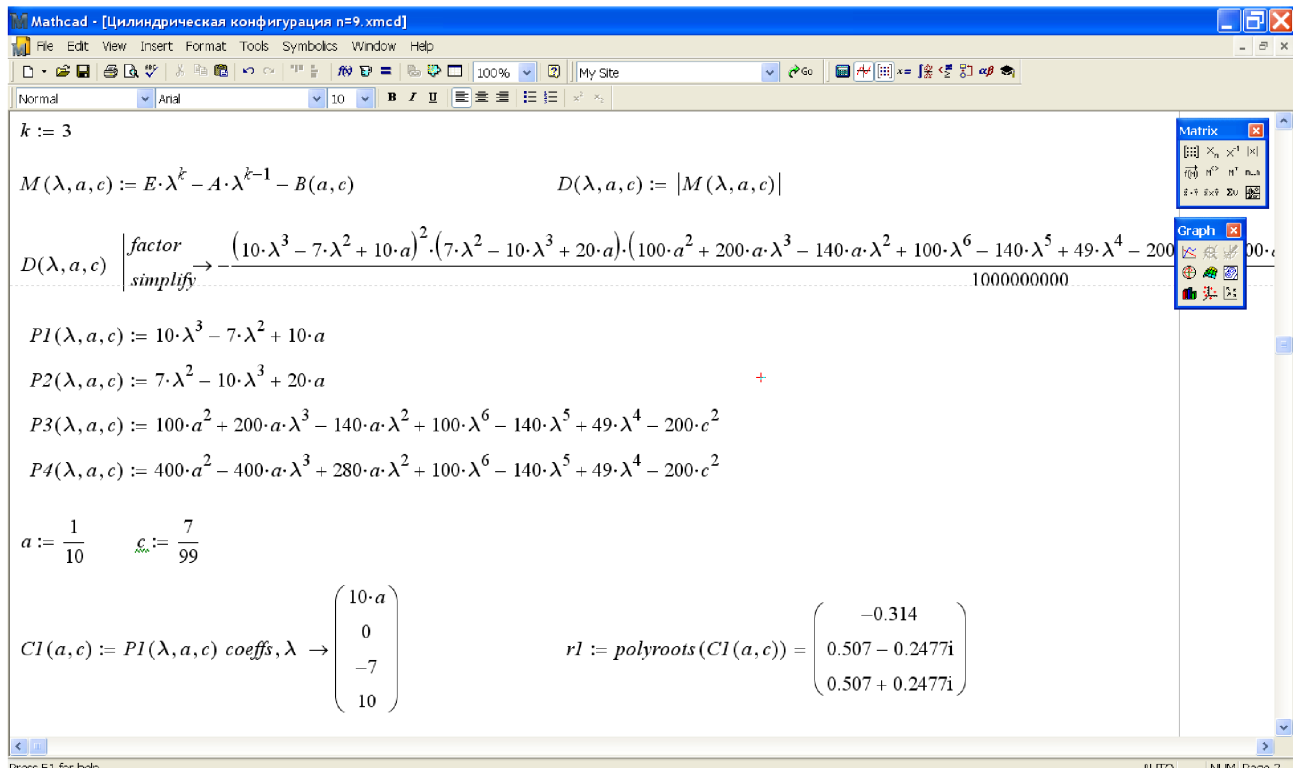
**Рис. 15. Пример вычисления корней характеристического полинома при исследовании устойчивости трёхслойной нейронной сети с 9 нейронами для**

$$\alpha = \frac{1}{5}, k = 2$$

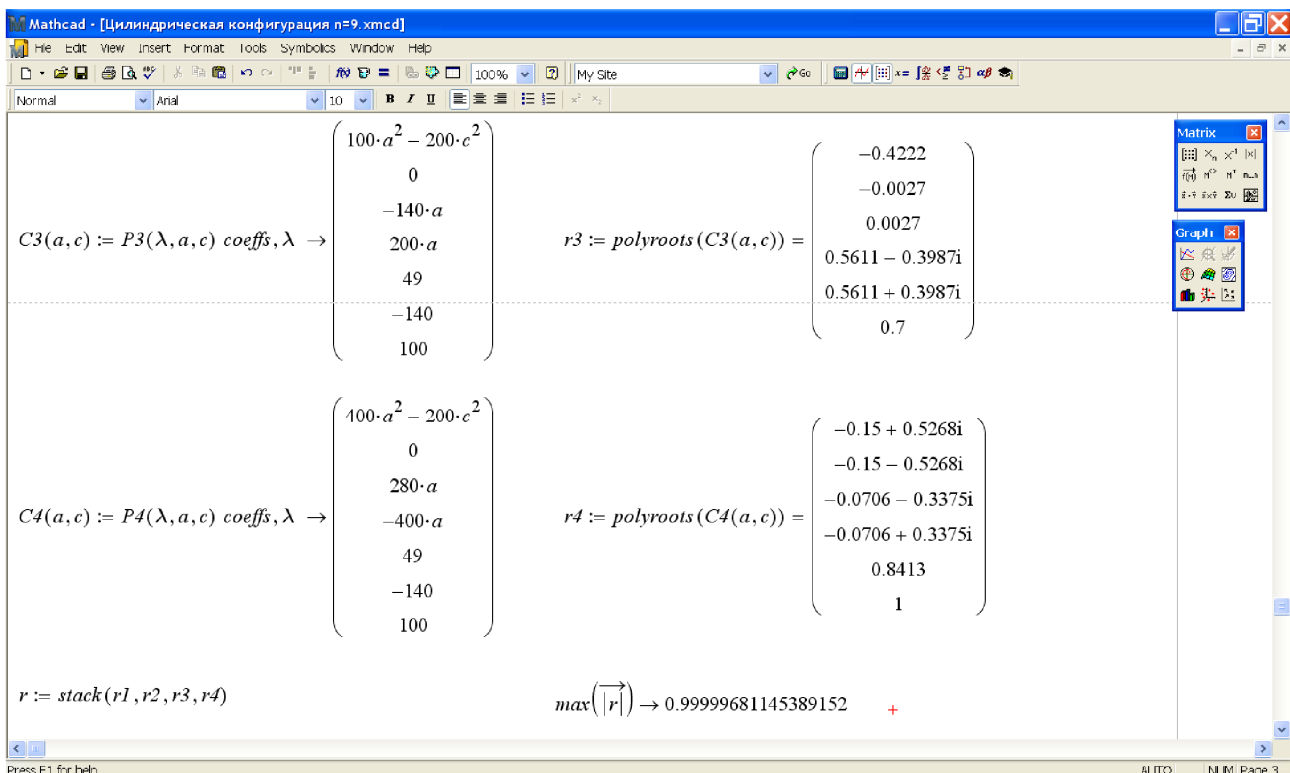
На рисунках 16 и 17 представлен пример вычисления характеристического полинома  $D(\lambda, a, b)$  и его корней при исследовании устойчивости цилиндрической конфигурации 9 нейронов для значений

параметров  $\alpha = \frac{7}{10}$ ,  $k = 3$ . MathCAD сумел разложить характеристический полином в произведение четырех множителей. В этом случае вычисляются корни каждого многочлена (без учета его кратности), а затем все корни объединяются в общий список с помощью функции stack.

Характеристический полином  $D(\lambda, a, c)$  при  $a = \frac{1}{10}$ ,  $c = \frac{7}{99}$  имеет один корень, по модулю равный 1, остальные по модулю меньше 1. Поэтому точка  $(\frac{1}{10}, \frac{7}{99})$  лежит на границе области устойчивости.



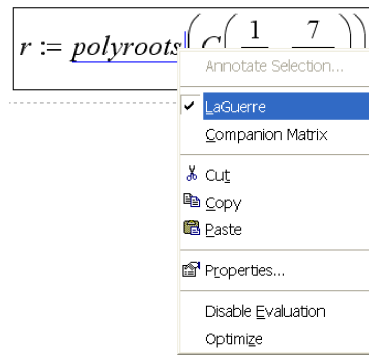
**Рис. 16. Пример вычисления корней характеристического полинома при исследовании устойчивости цилиндрической конфигурации 9 нейронов для  $\alpha = \frac{7}{10}$ ,  $k = 3$  (начало примера)**



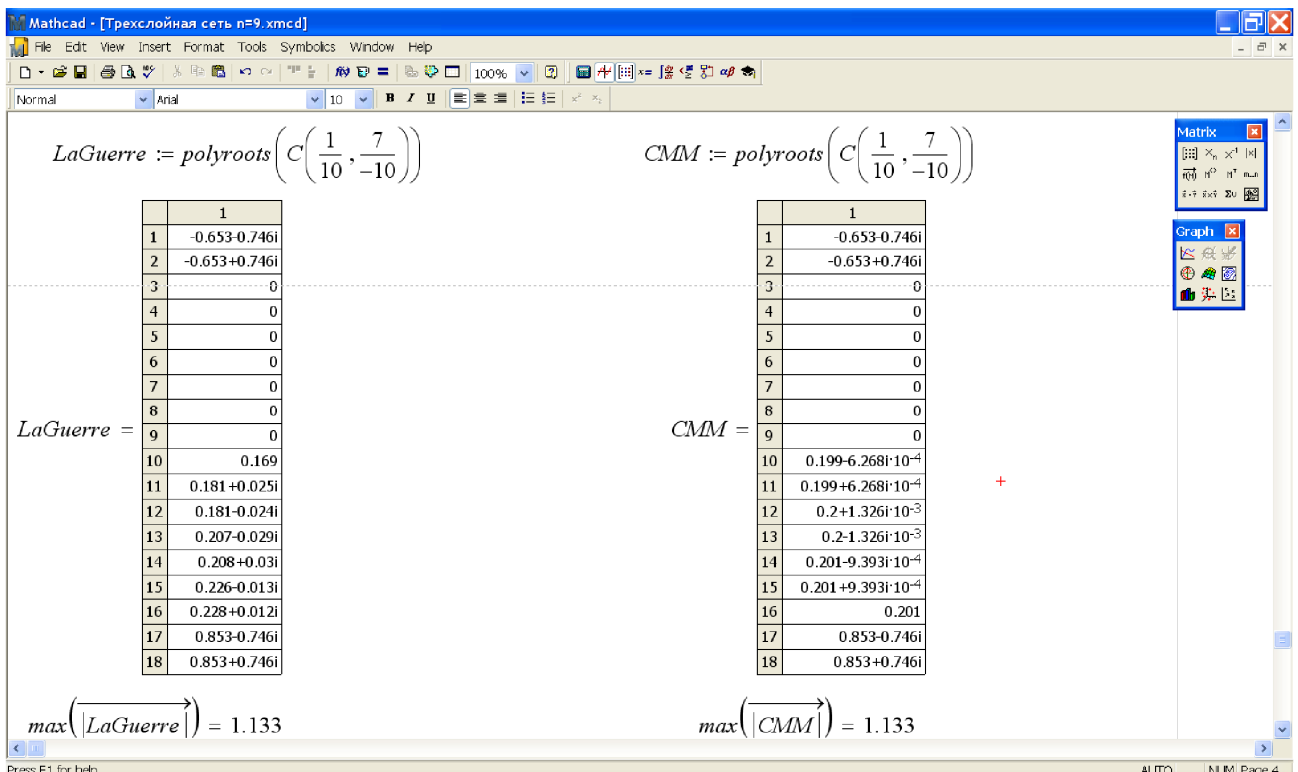
**Рис. 17. Пример вычисления корней характеристического полинома при исследовании устойчивости цилиндрической конфигурации 9 нейронов для  $\alpha = \frac{7}{10}$ ,  $k = 3$  (окончание примера)**

На рисунке 18 показан способ выбора метода нахождения корней многочлена с помощью функции `polyroots`. Правой кнопкой мыши по команде `polyroots` вызывается контекстное меню, в котором два первых параметра – это названия методов (Laguerre и Companion Matrix).

На рисунке 19 сравнивается точность прямого вычисления корней характеристического полинома (13) методом Лагерра (рис. 19, слева) и методом сопровождающей матрицы (рис. 19, справа) для трёхслойной сети из 9 нейронов при  $k = 2$ . В этом случае характеристический полином имеет 18-ю степень, причем среди его корней  $\lambda = 0$  – корень кратности 7, а  $\lambda = 0,2$  – корень кратности 7, а остальные 4 корня – это две пары комплексно-сопряженных корней. Преимущество в точности метода сопровождающей матрицы в этом случае очевидно.



**Рис. 18. Выбор метода для численного нахождения корней полинома с помощью функции polyroots**

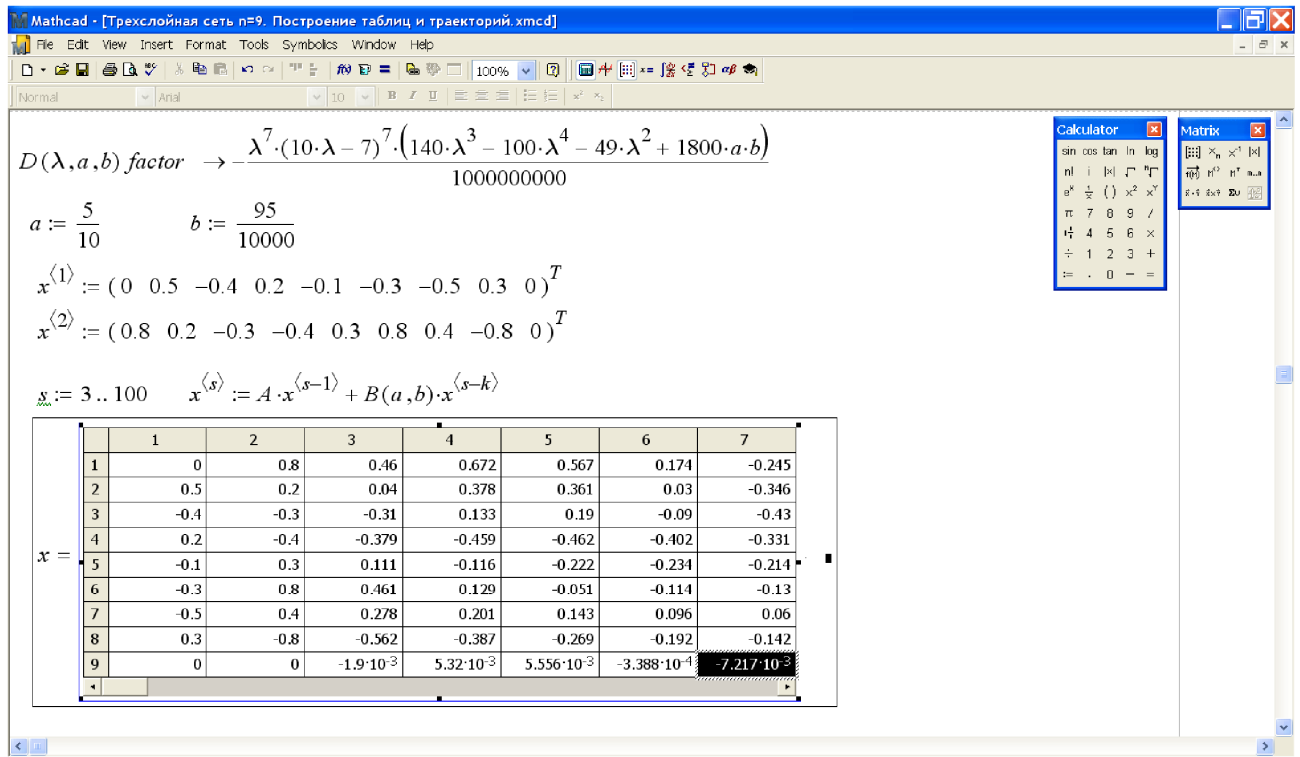


**Рис. 19. Сравнение точности вычисления корней характеристического полинома (13) методом Лагерра (слева) и методом сопровождающей матрицы (справа) для трёхслойной сети из 9 нейронов при  $k = 2$**

### 5.3. Демонстрация динамики нейронной сети

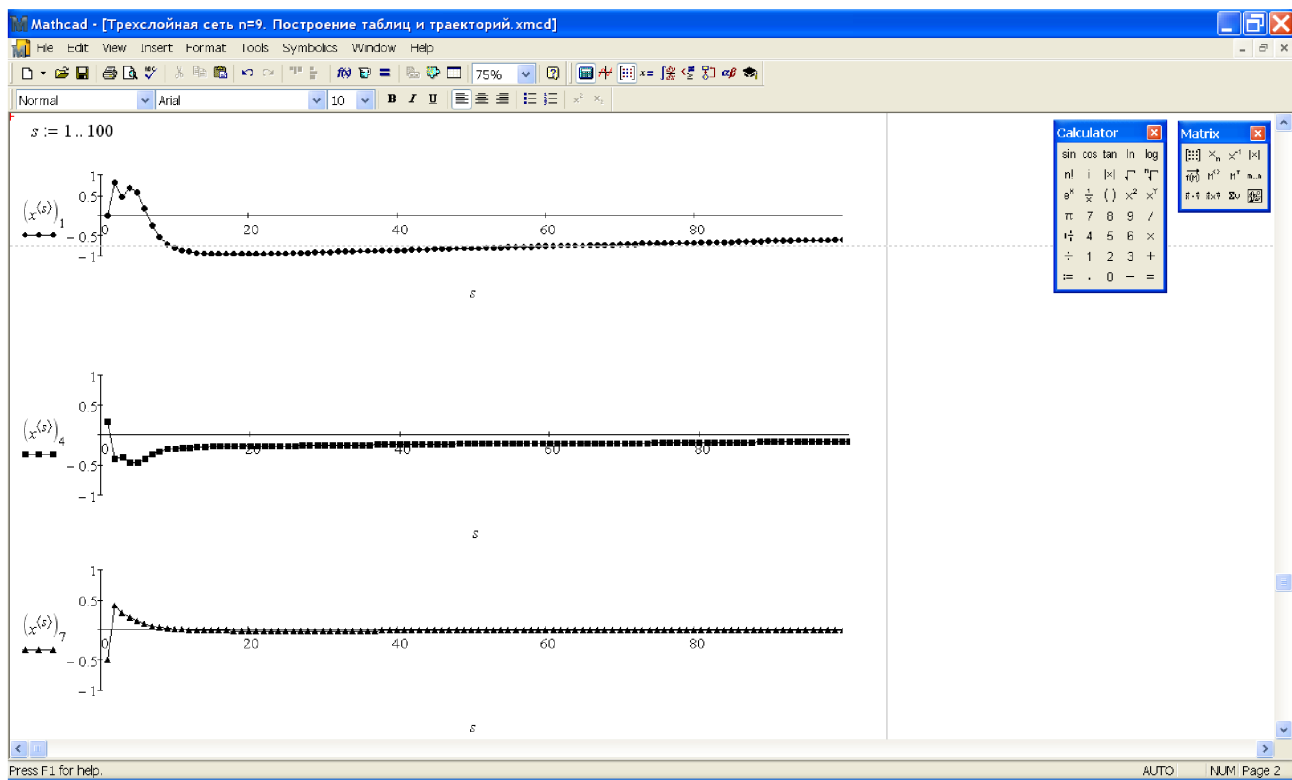
На рисунке 20 представлен пример описания динамики трёхслойной нейронной сети с 9 нейронами (см. также формулу (5) и пример на рис. 11) в численном виде (полученная таблица содержит последовательность

векторов  $x^{<s>}$  (по столбцам) состояний нейронной сети в моменты  $s = 1, 2, \dots, 100$  при  $k = 2$ ).

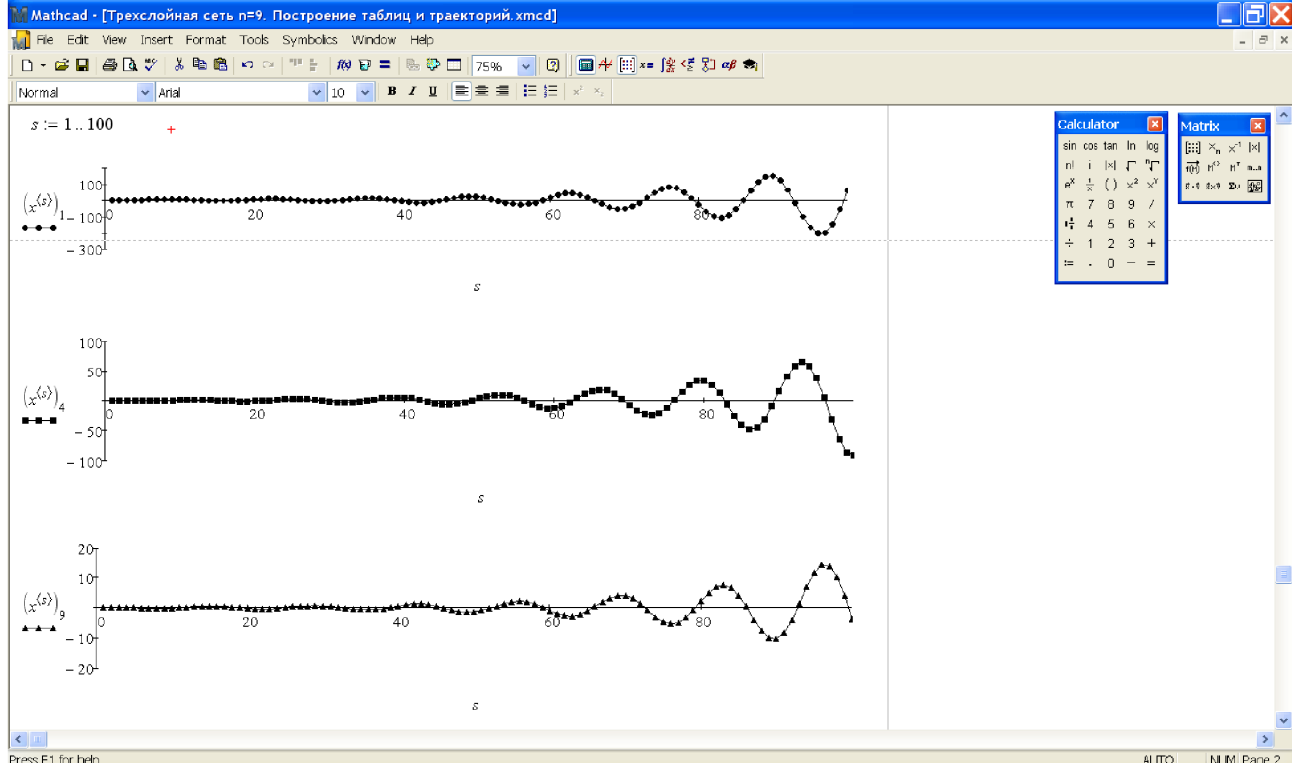


**Рис. 20. Пример описания динамики трёхслойной нейронной сети с 9 нейронами в виде последовательности векторов  $x_s$  (по столбцам) состояний нейронной сети в моменты  $s = 1, 2, \dots, 100$  при  $k = 2$**

На рисунке 21 приведен пример графического представления динамики трёхслойной нейронной сети с 9 нейронами. На трёх графиках представлена динамика реакции 1-го (точечный график  $(x^{<s>})_1$  с маркерами  $\bullet$ ), 4-го (точечный график  $(x^{<s>})_4$  с маркерами  $\blacksquare$ ) и 7-го (точечный график  $(x^{<s>})_7$  с маркерами  $\blacktriangle$ ) нейронов в моменты  $s = 1, 2, \dots, 150$ . Это примеры траекторий устойчивой нейронной сети.



**Рис. 21. Динамика реакции 1-го, 4-го и 7-го нейронов в устойчивой трёхслойной нейронной сети с 9 нейронами в моменты  $s = 1, 2, \dots, 100$  при  $a = 0.5, b = 0.0095, k = 2$**



**Рис. 22. Динамика реакции 1-го, 4-го и 9-го нейронов в неустойчивой трехслойной нейронной сети с 9 нейронами в моменты  $s = 1, 2, \dots, 100$  при  $a = -0.5, b = 0.341, k = 2$**

## **Библиографический список**

### **Статьи и материалы конференций с результатами исследований, выполненных студентами, магистрантами и аспирантами под руководством профессора М.М. Кипниса**

1. Ivanov, S.A. Stability analysis discrete-time neural networks with delayed interactions: torus, ring, grid, line / S.A. Ivanov, M.M. Kipnis // International Journal of Pure and Applied Math, 2012. – V. 78(5), P. 691–709.
2. Ivanov, S.A. The stability cone for a difference matrix equation with two delays / S.A. Ivanov, M.M. Kipnis, V.V. Malygina // ISRN Appl. Math, 2011. – P. 1–19.
3. Khokhlova, T.N. Numerical and qualitative stability analysis of ring and linear neural networks with a large number of neurons / T.N. Khokhlova, M.M. Kipnis // International Journal of Pure and Applied Math, 2012. – V. 76(3), P. 403–419.
4. Khokhlova, T.N. Stability cone for linear delay differential matrix equation / T.N. Khokhlova, M.M. Kipnis, V.V. Malygina // Appl. Math. Letters, 2011. – V. 24, P. 742–745.
5. Khokhlova, T.N. The breaking of a delayed ring neural network contributes to stability: The rule and exceptions / T.N. Khokhlova, M.M. Kipnis // Neural Networks, 2013. – V. 48, P. 148–152.
6. Kipnis, M.M. The stability cone for a matrix delay difference equation / M.M. Kipnis, V.V. Malygina // Int. J. of Math. and Mathematical Sciences, 2011. – P. 1–18.
7. Иванов, С.А. Устойчивость рекурсивной нейронной сети с топологией связей многомерного куба / С.А. Иванов // Теория управления и математическое моделирование. Труды конференции. – Ижевск, 15–18 мая 2012. – Ижевск, 2012. – С. 19–21.

8. Иванов, С.А. Устойчивость рекурсивных нейронных сетей тороидальной конфигурации / С.А. Иванов // Математика и ее приложения в современной науке и практике: сб. научных статей 2-й Международной конференции студентов и аспирантов, Курск, 5–6 апреля 2012. – Курск, 2012. – С. 112–115.
9. Иванов, С.А. Устойчивость плоского однородного нейронного поля / С.А. Иванов, А.А. Пархоменко // Инновации в науке, 2013. – № 16–1, С. 11–15.
10. Семенова, Ю.А. Устойчивость дискретной нейронной сети звездной конфигурации / Ю.А. Семенова // Математика и ее приложения в современной науке и практике: сб. научных статей 2-й Международной конференции студентов и аспирантов, Курск, 5–6 апреля 2012. – Курск, 2012. – С. 187–190.
11. Хохлова, Т.Н. Устойчивость двухслойного соединения нейронов с запаздыванием / Т.Н. Хохлова // Математика и ее приложения в современной науке и практике: сб. научных статей 2-й Международной конференции студентов и аспирантов, Курск, 5–6 апреля 2012. – Курск, 2012. – С. 191–194.

### **Учебники, монографии и учебные пособия**

1. Аксенов, С.В. Организация и использование нейронных сетей (методы и технологии) / С.В. Аксенов, В.Б. Новосельцев. – Томск: Издательство НТЛ, 2006. – 128 с.
2. Барский, А.Б. Нейронные сети: распознавание, управление, принятие решений / А.Б. Барский. – М.: Финансы и статистика, 2004. – 176 с.
3. Галушкин, А.И. Нейронные сети. Основы теории / А.И. Галушкин. – М.: Издательство «Горячая Линия – Телеком», 2012. – 496 с.
4. Заенцов, И.В. Нейронные сети: основные модели / И.В. Заенцов. – Воронеж: Издательство ВГУ, 1999. – 76 с.

5. Каллан, Р. Основные концепции нейронных сетей / Р. Каллан. – М.: Издательский дом «Вильямс», 2001. – 290 с.
6. Тархов, Д.А. Нейронные сети как средство математического моделирования / Д.А. Тархов. – М.: Издательство «Радиотехника», 2006. – 48 с.
7. Тархов, Д.А. Нейронные сети. Модели и алгоритмы / Д.А. Тархов. – М.: Издательство «Радиотехника», 2005. – 256 с.
8. Хайкин, С. Нейронные сети: полный курс / С. Хайкин. – М.: ООО «И.Д. Вильямс», 2006. – 1104 с.

### **Научные статьи**

1. Бойков, И.В. К устойчивости нейронных сетей Хопфилда / И.В. Бойков // Автоматика и телемеханика. – 2003. – № 9. – С. 124–140.
2. Бойков, И.В. Устойчивость нейронных сетей Хопфилда с запаздыванием / И.В. Бойков // Известия ВУЗов. Поволжский регион. Физико-математические науки. – 2012. – № 2. – С. 85-97.
3. Liao, T.-L. Globally exponential stability condition of a class of neural networks with time-varying delays / T.-L. Liao, J.-J. Yan, C.-J. Cheng, C.-C. Hwang // Physics Letters A. –2005. –V. 339 (Issues 3-5). – P. 333–342.
4. Liu, C. Stability of Hopfield neural networks with time delays and variable-time impulses / C. Li, T. Huang, Chaojie Li // Neural Computing and Applications. – 2013. – Vol. 22 (Issue 1). – P. 195–202.





Учебное издание

**Кипнис Михаил Маркович  
Нигматулин Равиль Михайлович**

**УСТОЙЧИВОСТЬ НЕЙРОННЫХ СЕТЕЙ  
ИССЛЕДОВАТЕЛЬСКИЕ ЗАДАЧИ**

Учебно-практическое пособие

ISBN 978-5-85716-993-3

Работа рекомендована РИСом университета  
Протокол № 6 (пункт 3) от 2013 г.

Редактор Н.С. Бокова

Издательство ЧГПУ  
454080, г. Челябинск, пр. Ленина, 69

Подписано в печать 05.11.2013  
Формат 60x84/16  
Бумага офсетная  
Объём 0,5 уч.-изд. л.  
Тираж 100 экз.  
Заказ №

Отпечатано с готового оригинал-макета в типографии ЧГПУ  
454080, г. Челябинск, пр. Ленина, 69